

冶金电力拖动文集

初轧机自动控制专号

2

冶金工业出版社

冶金电力拖动文集

第2辑

初轧机自动控制专号

冶金工业出版社

冶金电力拖动文集 第2辑
初轧机自动控制专号

1960年5月第一版 1960年5月北京第一次印刷 4,625册

开本 350×1168 • 1/32 • 字数 140,000 • 印张 5 $\frac{22}{32}$ • 定价 0.73 元

统一书号 15062·2183 冶金工业出版社印刷厂印 新华书店发行

冶金工业出版社出版 (地址: 北京市灯市口甲45号)
北京市书刊出版业营业登记证字第 093 号

本文集第二輯主要選擇自苏联“电”杂志中有关初
軋机自动控制系统的文章。書中介绍初軋机自动控制系统
的改进，並有系統的計算和分析。这些文章都是冶金
电力拖动工作者所需的良好参考資料，曾先后在东北工
学院的“自动电力拖动譯述”上刊登，现特收成专輯，
以供讀者参考。

本叢可作为电力拖动工程技术人员的参考資料，也
可供高等学校和中等专业学校工业企业电气化专业的师
生参考。

目 录

1. 具有放大机控制的可逆轧钢机的电力拖动装置 M.B. 梅也罗夫, E.I. 爱琴盖尔	5
2. 用静特性分析初轧机的控制系统 B. 斯列然諾夫斯基	24
3. 可逆轧钢机控制系统的分析 O. B. 斯列然諾夫斯基	41
4. 初轧机电动机磁场控制的新线路 B. II. 阿尔漢盖尔斯基	61
5. 初轧机电力拖动负荷调节的新线路 B. II. 阿尔漢盖尔斯基	79
6. 减弱电动机磁通的三級电机控制系统参数的确定 H. II. 库尼茨基	99
7. 轧钢机轧輶的单独电力拖动装置 Φ. A. 高里扬諾夫	114
8. 具有单輶拖动的轧机的控制 O. B. 斯列然諾夫斯基	133
9. 初轧机电动机磁场控制线路参数的确定 B. II. 阿尔漢盖尔斯基	151
10. 放大机控制的电力拖动在增磁时电动机的最佳电流曲线 B. II. 库尼茨基	165

具有放大机控制的 可逆轧钢机的电力拖动装置

全苏电工研究院 技術科学副博士 M.B. 梅也罗夫
 技术科学副博士 E.I. 爱琴盖尔

在可逆轧钢机的主拖动装置中应用放大机可以保证轧钢机的高度生产率，提高运转的可靠性，降低能量损耗，能够大大地简化线路，缩减所应用的电器的数量，并减小其尺寸。

因为有这些优点，放大机成功地代替了存在二十多年的继电接触控制电路。

在本文中叙述通用电气公司的带放大机控制的可逆轧钢机的主拖动原理结线图。

对于可逆轧钢机的主拖动线路提出下列要求：

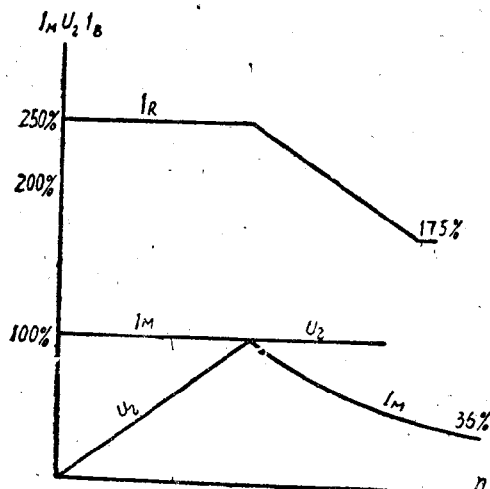


图 1

1. 由零到基速的速度调节是用四段调节电动机的电枢端电压来实现的。
2. 由基速到最高速度的调速是用两段减弱电动机磁场来实现的。
3. 用主令控制器来控制，并且操作工人只给定电动机的最终速度；电动机的加速或减速不应当依靠操作工人，而是自动完成的。
4. 在起动和制动时线路应当保证最大地充满电动机的极限负载图，也就是给出电动机按整流条件所允许的最大电流与电动机转速间关系的负载图。

典型的电动机极限负载图示于图 1 上，图中也示出希望的发电机电压变化曲线和电动机激磁电流的变化曲线。

- 在由零到基速的范围内电流的最大值是额定电流的 2.5 倍。
- 在由基速到最大速度的范围内电动机的允许负载电流值按直线规律降到额定电流的 1.75 倍。
5. 过载保护应当防止不允许的意外的过载，并且仅仅在事故情况下才切断设备。
 6. 当电动机运转在给定级段的速度上时，它应当始终不变。
 7. 线路图的工作应当稳定，没有振荡和超调。
 8. 把主令控制器置于零位时，轧钢电动机应当停住。

为了能更容易地研究极其复杂的线路的所有元件的作用起见，按许多阶段对这一线路进行分析，但是这些阶段都纯系假定的。

- 一、没有强迫激磁和强迫调节加速和减速的用放大机激磁的瓦尔得一列奥那得机组主轧钢电动机的加速、减速和反转
- 线路图中（图 2）包括下列元件：
1. 轧钢电动机 II。

2. 列奥那得发电机 Γ 。
3. 列奥那得发电机的激磁机 $B\Gamma$ 。
4. 发电机的放大机副激磁机 AT 。

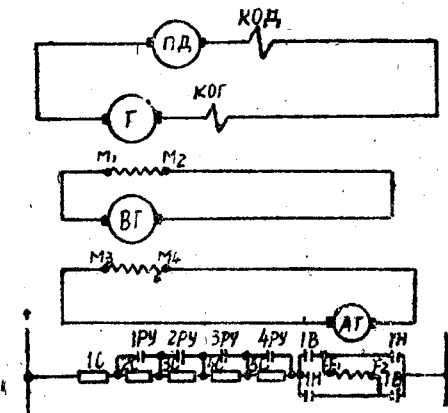


图 2

5. 调节电阻 $1C \sim 5C$ 。
6. 反向换接开关 $1B \sim 1H$ 。
7. 控制继电器 $1PY \sim 4PY$ 。

轧钢电动机的控制是用改变放大机控制绕组 $F_1 F_2$ 内的电流来实现的。控制绕组内电流的方向由反向换接开关给定，而电流值则由短接控制绕组电路内的电阻 $2C \sim 5C$ 的继电器 $1PY \sim 4PY$ 的关合或开启来决定。

利用主令控制器来接通和切断继电器 PY 的线圈（在线路图中未示出），放置主控器于某一固定位置（1、2、3、4）就给定了电动机的稳定速度值。电动机的加速主要是由其机电时间常数和发电机与激磁机的电磁时间常数所决定的。

提出的这一最简单的结线不能保证电动机足够的加速和减速。电流图的充满不大。稳定速度值的速度调节不能保证。

二、发电机的强迫激磁与自动调节电压

a) 引用放大机的第二个激磁繞組 F_3F_4 (图 3)，由接于发电机电压上的分压器 $6C-8C$ 来供电。第二个繞組 安匝的方向与第一个控制繞組的安匝相反。于是放大机电压，以及发电机的电压和电动机的速度由放大机两个控制繞組的安匝差来决定。

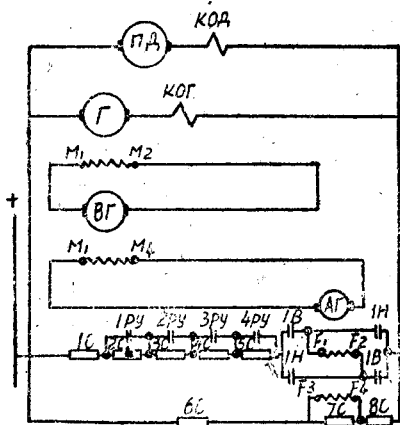


图 3

在起动电动机的最初一瞬间电压等于零。放大机第一个控制繞組的安匝大大地超过了在稳定速度下的合成安匝，因此放大机的电压增长至远远超过在稳定速度时的数值，于是建立了列奥那得发电机和激磁机的强迫激磁。随着发电机电压的增长，这一强迫作用减少到零。在电动机减速时也同样地保证了发电机磁场的强迫减弱。主令控制器在给定位置下发电机的电压保持恒定。发电机电压对给定值的偏差促使放大机控制繞組的安匝平衡破坏，并且促使发电机电压恢复在系统运转准确度的范围内。

所叙述的发电机强迫激磁的方法是有缺点的，因为强迫作用随着发电机电势的增长而减弱。

6) 为了克服上述的缺点采用下列新的线路元件 (图 4) :

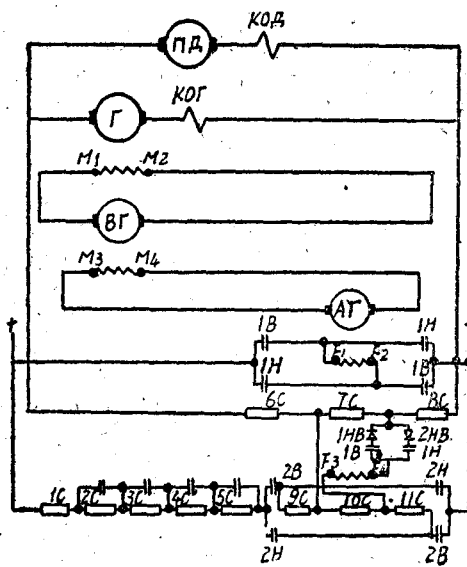


图 4

1. 固体整流器 $1KB$, $2KB$ 。
2. 主令控制器的联鎖接点 $1B$, $1H$ 。
3. 由直流輔助电路供电的分压器 $9C \sim 11C$ 。
4. 反向換接开关的联鎖接点 $2B \sim 2H$ 。調節电阻和繼电器 $1PY \sim 4PY$ 的接点移到放大机第二个控制繞組的电路內。

由于在放大机第二个控制繞組內接入了整流器和分压器，所以只有在发电机端电压大于由分压器 $6C \sim 8C$ 和 $9C \sim 11C$ 之位置所决定的数值时，才在繞組內出現电流。于是就在发电机电压增加到接近于稳定值的某一数值以前的全部时间內都保証了强迫作用。

线路的缺点是：

1. 发电机-电动机电路与厂内操作电路間有电气联系。
2. 在把主控器置于零位时反向換接开关切断，放大机的控

倒繞組斷開，但是由於剩磁的緣故，發電機的電壓並不降到零，而電動機仍保持某一剩餘速度。

6) 為了克服第一個缺點，引用了輔助控制發電機(圖5)。反向換接開關的聯鎖接點、控制電阻和控制繼電器的接點都移到控制發電機的激磁電路內。

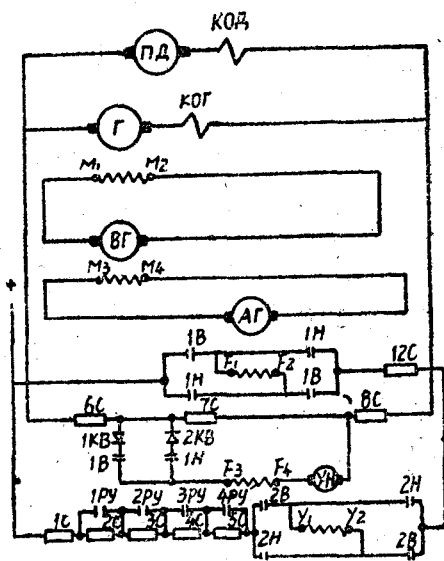


图 5

2) 引用了放大機和發電機激磁機的磁場自消磁(圖6)。為了放大機的磁場自消磁，应用了反向換接開關的常合接點，在反向換接開關開斷時，也就是置主控器於零位時，它把放大機的電樞接於其第一個激磁繞組 $F_1 F_2$ 上。

為了自消激磁機的磁場，引用了激磁機的輔助激磁繞組 $M_s - M_a$ ，經過很大的電阻 $13C$ 把它接於主發電機的電壓上，這一繞組安匝的方向與基本繞組的安匝相反。

在開斷反向換接開關時，其常閉接點就短路了激磁機上述激

磁繞組電路內的電阻。於是發電機的電壓就用來消除激磁機的磁場。由於發電機剩磁的緣故，激磁機仍得到某些反磁以促使發電機的磁場消除。在設備運轉時與激磁機的第二個激磁繞組串聯接入電阻 $13C$ ；因此這一繞組的去磁作用大大降低，因而激磁機時間常數有某些減少。

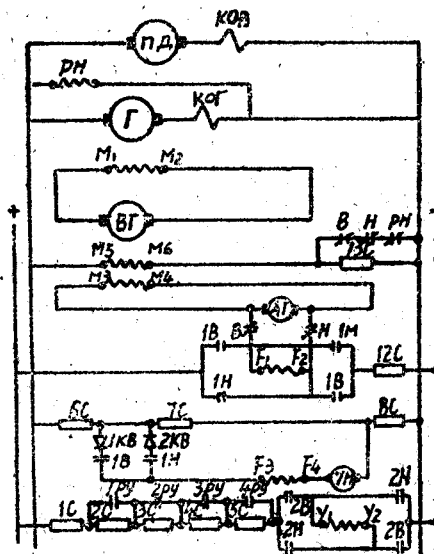


图 6

与分路电阻 $13C$ 的接点 B 和 H 串联接入低电压繼电器 PH 的常闭接点。

这一繼电器的線圈由主发电机的电压供电，因此激磁机的磁场消除只是当发电机电压已經降低时才可以开始。

在这个給定阶段里线路的工作情况 电动机由零到基速的启动

转动激磁机 BT 、放大机 AT 和控制发电机 UH ，主控器从

零位扳到“向前”方向的某一段上，例如是第一段，反向换接开关“向前”接通。

繼电器 $1PY$ 接通了分路电阻 $2C$ 的接点，放大机 AI' 的第一个繞組（方向繞組）和控制发电机的激磁繞組接于操作电路的电压上，并在其中产生电流。

控制发电机被激励，但是整流器 $1KB$ 阻碍电流流过放大机的第二个控制繞組。放大机被繞組 F_1F_2 的安匝激励，并且因为其激磁大大地超过稳定值，所以激磁机激磁繞組的端电压迅速地增长到大于額定值的数值。这就引起激磁机和主发电机的强迫激磁。

随着主发电机端电压的增高，分压器 $6C \sim 8C$ 上的电压也增大。当分压器上的电压大于控制发电机上的电压时，则在放大机的第二个控制繞組內产生电流。放大机第二个控制繞組安匝的方向与第一个繞組相反，故放大机电压迅速下降。

在发电机电压与主控器的位置給定的数值相等时，则建立了平衡。当发电机电压波动时，放大机第二个控制繞組內的电流也同样地变化，以使得重新恢复給定的电压。

在把主控器从第一級扳到第二級时，繼电器 $2PY$ 被激磁，而其接点短接了电阻 $3C$ ，控制发电机激磁繞組內的电流增大，控制发电机的电压也变得大于分压器上的电压，其結果又重复了如上所述的激磁机和发电机的强迫激磁。

在把主控器一下子扳过数段时，进行的过程也类似。

軋鋼电动机的減速和制动可能有三种情况：

1. 主控器从高速級扳到低速級。
2. 主控器放到零位。
3. 主控器扳到反轉的位置。

第一种情况：把主控器从第二段扳到第一段做为例子。

繼电器 $2PY$ 失去激磁，故其接点开启，而在控制发电机激磁繞組电路內接入电阻 $3C$ ，控制发电机的电压按指数曲線減少，分压

器 $6C \sim 8C$ 的电压与控制发电机的电压差增大，放大机第二个控制繞組內的电流乃迅速增长，放大机的电压降到零，并在改变符号之后又增长到与第二个繞組同第一个繞組之安匝差相适应的值。其結果就发生了激磁机和主发电机磁场的加速減弱。

主发电机的电压降低，也就相应地降低了分压器 $6C \sim 8C$ 上的电压。

放大机第二个控制繞組內的电流乃減少，放大机的电压又重新改变符号，在过了某些时间以后，当发电机电压相应于主控器第一級时，又达到了平衡。

在从任意高速級过渡到任何低速級时，进行的过程与前述相似，但是强迫作用的程度則依賴于主控器所扳过的級数①。

第二种情况：在主控器置于零位时，反向换接开关切断，而控制发电机的激磁繞組也失去激磁。同时放大机的第一个控制繞組也由电网切断而接到放大机电枢端上，同时也閉合了跨接于电阻 $13C$ 的反向换接开关之常閉接点，但是繼电器 PH 仍然还是开启的。在放大机消磁以后，就引起了主发电机激磁机电压的降低。当主发电机的电压降到 PH 的整定值时，则 PH 放开而关合其常閉接点，激磁机第二个激磁繞組（差激）电路內的电阻被短路了，其結果乃出現了发电机和激磁机的完全消磁。当主发电机电压降到零时則过程完結。

繼电器 PH 防止了在轧鋼电动机速度很大的情况下发电机磁场过分迅速地消磁。因为这样地消磁，将因制动电流而使发电机和电动机严重地过載。

第三种情况：在很快地把主控器从“向前”的位置扳到“向后”方向各級中的任一級上时，发电机电压降低的过程尚来不及结束，而反向换接开关已經反接；放大机第一个控制繞組和控制发电机激磁繞組內的电流就已改变了其方向。放大机的两个控制繞組的作用相一致而引起激磁机和发电机磁场方向的迅速改变，以

① 在电动机起动时，这一依赖关系不大，因为是放大机的第一个控制繞組起作用。

后的过程与电动机起动过程类似地进行。

对结线图工作的分析指出在这种接线方式下，它不能满足1、3、6和8各项要求。

关于电动机在起动和减速时最大充满极限电流图的第四点要求的实现上，已较在第一段时为佳，但是还是完全不够满意的，在靠近发电机电压的稳定值时，则发电机激磁的强迫作用就要降低了，因为不如此就可能超调和发生振荡。改善发电机充满极限负载图和防止超调与振荡的任务，在结线图发展的第三阶段里加以解决。

三、放大机的强迫加电压，反超调与反振荡装置

引用下列新的线路元件（图7）：

1. 跨接固体整流器 1KB 和 2KB 电路中接点 1B 和 1H 的电阻 14C 和 15C。
2. 放大机的第三个控制绕组。
3. 控制发电机的第二个激磁绕组。
4. 稳定变压器 1T。
5. 稳定变压器 2T。
6. 反超调变压器 3T。

引用电阻 14C 和 15C 能够增大主发电机激磁的强迫作用并且保证线路具有很大柔韧性，在按示于图6上的线路起动电动机时，在发电机电压达到规定值以前，放大机的第二个控制绕组 F_3, F_4 不流过电流。

电阻 14C 和 15C 保证了在最初时期利用绕组 F_3, F_4 来加强绕组 F_1, F_2 的作用。

固体整流器 1KB, 2KB 与联锁接点 1B, 1H 和电阻 14C, 15C 的结合，在线路中造成了具有易于改变特性的非线性元件。

变压器 1T, 2T 和 3T 的基本作用原理在于其二次绕组的端电压正比于磁通变化的速度，也就是磁通或者是一次绕组电压（如

果变压器二次繞組的負載很小的話) 对時間的導數。除了引用上列的新元件之外，并改变第二阶段中元件的参数，其中有分压器 $6C \sim 8C$ 的电阻。这些改变的目的是为了保証激磁机强迫激磁在数值上和时间上的最大，而把对超調和振盪的斗争委托給变压器 $3T$, $2T$ 和 $1T$ 。

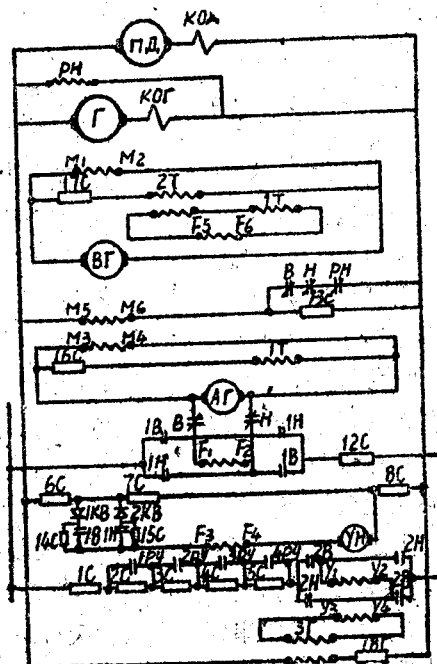


图 7

线路新元件的工作

通用电气公司称前述的变压器 $3T$ 为反超調变压器，这一变压器的一次繞組接于主发电机的电压上，二次繞組供給控制发电机 YH 的第二个激磁繞組 y_3, y_4 。具有保証在发电机电压达到某一值而截止强迫激磁的带固体整流器 $1KB$ 和 $2KB$ 的線路不依

賴于发电机电压变化的速度而独立地作用，因而在强迫作用很大时不可避免地要引起超調。

在图 8 上示出放大机、激磁机和主发电机电压变化的典型曲綫。在 A 点发电机电压达到分压器 $6C \sim 8C$ 整定的給定值。

由于放大机激磁机和发电机激磁繞組的慣性的緣故，发电机的电压繼續增大，并且超过了必需的稳定值。电压的增高值依賴于发电机电压增加的速度。为了克服上述現象，必須在发电机电压增长过程之末，引入正比于发电机电压变化速度的反作用力。用变压器 $3T$ 来实现这一点，带变压器 $3T$ 之綫路的工作由示于图 9 上的曲綫来闡明。当控制发电机电压大約达到稳定值的 $80 \sim 90\%$ 时，由于中間环节慣性的緣故，主发电机的电压开始迅速地增长。变压器 $3T$ 开始作用并且剧烈地降低了控制发电机的电压。其結果是当主发电机电压接近于稳定值时增长速度便減低，并且在适当地选择参数时还得以避免电压过分地增高。

发电机电压变化过程的数学分析和实验的研究指出为了获得希望的电压增长曲綫，一个变压器 $3T$ 是不够的。为了获得接近于直綫的平滑的电压增长曲綫，在放大机和激磁机电压有很大的强迫作用时，必須控制这些电机电压的变化速度。用稳定变压器 $1T$ 和 $2T$ 来实现这一点。变压器 $1T$ 的一次繞組接于放大机 AI' 的电压上，变压器 $2T$ 的一次繞組接于激磁机 BI' 的电压上，变压器 $1T$ 和 $2T$ 的二次繞組串联再供給放大机的第三个繞組 $F_5 F_6$ ，在相应地选择变压器的参数时得以在沒有振盪和超調而发电机电压增长几乎是直綫性特性的情况下得到很大的增长速度。

于是第三阶段的特征在于主发电机电压变化过程的强迫作用的加强。并引用系統各个环节(放大机、激磁机、发电机)之电压变化速度的控制，以防止振盪和超調并获得希望的主发电机电压增长曲綫。在第三阶段上沒有直接的电流控制，其結果在保証起动电动机到基本速度时有最大的充滿电流图的系統中，在制动电动机时电流就要超过允許值。电动机由基本速度減速到零时，限